

有限要素法による定常粘性流体の解析

中央大 理工・土木 川原睦人

1. 緒 言

有限要素法によつて Navier-Stokes 方程式を解析する方法について述べる。すでに、ニ、三の研究がこの問題の可能性について論じているが、ここでは、定常流れに限定して、境界における条件の取扱い、非線形連立代数方程式の取扱いなどを中心として検討する。

2. 基礎方程式

直角座標 ($x^i, i=1,2,3$) による空間表示を用いることとする。非圧縮性粘性流体の層流流れの、平衡方程式は、

$$\rho u_j u_{ij} = \tau_{ij} + \hat{p}_f \quad \cdots \cdots \cdots (2.1)$$

である。添字表現を用い、総和規約に従うとする。 u_{ij} は流速、 \hat{p}_f は物体力、 ρ は密度である。 τ_{ij} は応力で、

$$\tau_{ij} = -\rho \delta_{ij} + \mu (u_{i,j} + u_{j,i}) \quad \cdots \cdots \cdots (2.2)$$

と表わされる。ここに P は圧力、 μ は粘性係数である。

連続方程式は、

$$u_i, i = 0 \quad \dots \quad (2.3)$$

と与えられる。境界条件としては、次の条件を考えることにする。境界 S_1 では、流速が規定されるとする。

$$u_i = \hat{u}_i \quad \text{on } S_1 \quad \dots \quad (2.4)$$

ここに $\hat{\cdot}$ は境界で与えられた量であることを示す。境界 S_2 では、流速の勾配 Q_i が、

$$Q_i = u_i \cdot j n_j = \hat{Q}_i \quad \text{on } S_2 \quad \dots \quad (2.5)$$

となるとする。ここに、 n_j は境界にたてた外向法線ベクトルの成分である。この条件は、流体の流れが、平行にならばっていると考えるべき境界などに相当している。圧力が既知の境界を S_3 とする。

$$P = \hat{P} \quad \text{on } S_3 \quad \dots \quad (2.6)$$

流量 R が定められる境界 S_4 では、

$$R = u_i n_i = \hat{R} \quad \text{on } S_4 \quad \dots \quad (2.7)$$

となる。応力 Z_{ij} の合力が既知である境界 S_5 では、

$$S_i = Z_{ij} n_j = \hat{S}_i \quad \text{on } S_5 \quad \dots \quad (2.8)$$

が成立するものとする。

以上の基礎方程式に対して、有限要素法の定式化を考えるために、ガレルキン法によつて、変分方程式を誘導する。

境界 Γ は 0 で、他では任意の値を取る重み関数 u_i^* を考え、式(2.1)の両辺にかけて、任意の領域 $\bar{\Omega}$ について積分し、多少変形して整頓すると、結局、次の方程式が得られる。

$$\int_V \rho(u_i^* u_j u_{i,j}) dV - \int_V (u_{i,i}^* p) dV + \int_V \mu(u_{i,j} u_{i,j}^*) dV \\ + \int_V \mu(u_{i,j}^* u_{j,i}) dV = \int_{S5} (u_i^* \hat{s}_i) + \int_V (u_i^* \hat{p f}_i) dV \dots \dots \quad (2.9)$$

一方、連続方程式(2.3)の両辺に、境界 S_3 では 0 で、
他は、任意の値を取る重み関数 P^* をかけて、領域 V について積分すると、

$$\int_V (P^* u_{i,i}) dV = 0 \quad \dots \dots \dots (2.10)$$

を得る。式(2.9), (2.10)は、強制境界条件として δ_i の条件を、自然境界条件として $\delta_{\bar{i}}$ の条件を満足している。

式(2.9)と(2.10)を変形すると、それぞれ

$$\int_V p(u_i^* u_j u_{ij}) dV + \int_V (u_i^* P_{,i}) dV + \int_V u(u_{i,j} u_{i,j}) dV \\ = \int_S u(u_i^* \hat{Q}_i) dS + \int_V p(u_i^* \hat{f}_i) dV \quad \text{----- (2.11)}$$

$$\int_V (\overset{*}{P}_{,i} u_i) dV = \int_{S^4} (\overset{*}{P}^* \hat{R}) ds \quad \text{--- (2.12)}$$

なる方程式が得られる。式(2.11), (2.12)は、強制境界条件として s_1, s_3 の条件を、自然境界条件として s_2, s_4 の条件をそれぞれ満足している。

3. 有限要素法

解析する流れの場を、かたまり合わない部分領域に分割し、分割された一つの領域を有限要素と呼ぶ。有限要素の境界上に選ばれた節点における流速 u_{ai} と圧力 p_a を用いて、有限要素内部の流速 u_i と圧力 P を、

$$u_i = \Phi_\alpha u_{\alpha i} \quad \dots \quad (3.1)$$

$$P = \bar{q}_\alpha P_\alpha \quad \text{--- --- ---} \quad (3.2)$$

のごとく補間する。補間に用いられる関数重みと \bar{w}_k は、形状関数と呼ばれている。重み関数にも、同様の関数を仮定し、(2.9)、(2.10) の変分方程式に代入し、整頓すると、次の関係を得ることができる。

$$K_{\alpha\beta j} U_{\beta j} U_{\gamma i} + H_{\alpha i \beta} P_{\beta} + M_{\alpha i \beta j} U_{\beta j} = \hat{\Omega}_{\alpha i} \quad \dots \quad (3.3)$$

$$\text{Haib Uai} = \hat{P}_\alpha \quad \text{--- (3.4)}$$

$\frac{2}{3} \frac{2}{3} (=)$

$$K_{\alpha\beta\delta j} = \int_V p(\bar{\Phi}_\alpha \bar{\Phi}_\beta \bar{\Phi}_\delta j) dV, \quad H_{\alpha i} \beta = - \int_V (\bar{\Phi}_{\alpha .i} \bar{\Phi}_\beta) dV$$

$$M_{\alpha i \beta j} = \int_V M \left\{ (\bar{\Phi}_\alpha, \tau_k \bar{\Phi}_\beta, \tau_k) \delta_{ij} + (\bar{\Phi}_\alpha, i \bar{\Phi}_\beta, j) \right\} dV$$

$$\hat{\Omega}_{\alpha i} = \int_V p(\hat{f}_i \bar{\Psi}_\alpha) dV + \int_{S_2} (\bar{\Psi}_\alpha \hat{\delta}_i) dS, \quad \hat{P}_\alpha = 0$$

である。また、同様にして、変分方程式(2.11), (2.12)より式(3.3), (3.4)と同じ方程式が得られる。このとき、係数は $K_{\alpha\beta\gamma j}$ を除いて、以下のように変更される。

$$Hd_i\beta = \int_V (\bar{\Psi}_\alpha \bar{\Psi}_{\beta,i}) dV, \quad M_{\alpha i}\beta_j = \int_V \mu (\bar{\Psi}_\alpha, \bar{r}_k \bar{\Psi}_{\beta,k}) \delta_{ij} dV$$

$$\hat{\Omega}_{\alpha i} = \int_V (p \hat{f}_i \bar{\Psi}_\alpha) dV + \int_{S_2} (\bar{\Psi}_\alpha \hat{Q}_i) dS, \quad \hat{P}_\alpha = \int_{S_4} (\bar{\Psi}_\alpha \hat{R}) dS$$

式(3.3), (3.4)を、流れの場全体について立て、これを組み合わせると、全節点の流速と圧力に関する方程式が、次のように得られる。

$$F_\alpha = K_{\alpha\beta\gamma} U_\beta U_\gamma + H\alpha\lambda P_\lambda + M_{\alpha\beta} U_\beta - \hat{\Omega}_\alpha = 0 \quad \cdots \cdots \quad (3.5)$$

$$G_\lambda = H\alpha\lambda U_\alpha - \hat{P}_\lambda = 0 \quad \cdots \cdots \quad (3.6)$$

ここに U_α は、流れの場全節点の流速を表わし、 P_λ は、全節点の圧力である。式(3.5), (3.6)を連立して解き、 U_α と P_λ を求めれば、流れの場における流速と圧力の近似値を定めることができる。なお、形状関数には、流速については、二次の多項式を、圧力については一次の多項式を用いて計算している。

4. 非線形連立方程式の解法

非線形連立方程式 (3.5) と (3.6) を解くことによつて、求める近似値が得られる。構造解析においては、一般にくり返し代入法、ニュートン・ラフソン法、擾動法などが良く用いられている。くり返し代入法による場合には、式 (3.5) と (3.6) を、まず次のように変形する。

$$\begin{bmatrix} M_{\alpha\beta} & H\alpha\lambda \\ H\beta\mu & 0 \end{bmatrix} \begin{bmatrix} U_\beta \\ P_\lambda \end{bmatrix} = \begin{bmatrix} \hat{\Omega}\alpha \\ \hat{P}_\mu \end{bmatrix} - \begin{bmatrix} \sum\alpha \\ 0 \end{bmatrix} \quad \cdots \cdots \cdots \quad (4.1)$$

$$\text{ここに, } \sum\alpha = K_{\alpha\beta\lambda} U_\beta U_\lambda \quad \cdots \cdots \cdots \quad (4.2)$$

である。式 (4.1) の右辺第2項 $\sum\alpha$ を 0 と仮定して、式 (4.1) を解けば、クリープ流れの流速と圧力が、計算される。この解を用いて、順次くり返し計算を行なえば、非線形方程式を解くことができる。式 (4.1) にみるごとく、係數行列が対称であるために、大変数の連立方程式を解くのには都合が良いが、この計算では、粘性が小さく、流速が大きい流れの計算では、収束が著しく悪くなる。著者の数値実験では、図-1 に示す最も簡単な平行流の計算で、レイノルズ数約 150 程度まで計算されている。

ニュートン・ラフソン法によつて、式 (3.5), (3.6) を解く場合には、方向微係数を求める必要がある。すなわち、

$$\frac{\partial F_d}{\partial V_\beta} = K_{d\beta} \delta U_\beta + K_d \delta \beta U_d + M_d \delta \beta \quad \cdots \cdots \cdots (4.3)$$

$$\frac{\partial F_d}{\partial P_\lambda} = H_d \lambda, \quad \frac{\partial G_m}{\partial V_\beta} = H_\beta \mu \quad \cdots \cdots \cdots (4.4), (4.5)$$

である。 いよいよ

$$\bar{\Psi}_d = \begin{bmatrix} F_d \\ \alpha \mu \end{bmatrix}, \quad I_{d\beta} = \begin{bmatrix} \frac{\partial F_d}{\partial V_\beta} & \frac{\partial F_d}{\partial P_\lambda} \\ \frac{\partial G_m}{\partial V_\beta} & 0 \end{bmatrix}, \quad \chi_\beta = \begin{bmatrix} U_\beta \\ P_\lambda \end{bmatrix}$$

とおくと、

$$\bar{\Psi}_d = \bar{\Psi}_d(0) + I_{d\beta}(0) \cdot (\chi_\beta - \chi_\beta(0)) \approx 0 \quad \cdots \cdots (4.6)$$

なる関係が得られる。ここに、 $\chi_\beta(0)$ は適当に選ばれた基準となる流速と圧力であり、 $I_{d\beta}(0)$ 、 $\bar{\Psi}_d(0)$ は $\chi_\beta(0)$ より計算された $I_{d\beta}$ 、 $\bar{\Psi}_d$ の値である。式 (4.6) より、

$$\chi_\beta = \chi_\beta(0) - I_{d\beta}^{-1}(0) \cdot \bar{\Psi}_d(0) \quad \cdots \cdots (4.7)$$

なる関係が得られ、これを用いて、くり返えし計算を進めれば、求める解が得られる。式 (4.6) の $I_{d\beta}$ にみるとく、連立方程式の係数は、非対称になり、それだけ、大変数の連立方程式を解く上で、不利になるが、収束が早く、また、安定も良い。ニュートン・ラプソン法で解く場合には、基準

となる初期値が、充分に正解に近くないと、計算が収束しないことがある。初期値として、クリーフ流れの解を用いるのは適当ではなく、求めんとするレイノルズ数の流れを何段階かに分割して、順次、ニュートン・ラブソン法によつて、収束させて、最終的に解を得る方法を取るのが良い。すなわち、ニュートン・ラブソン法と擾動法を組み合わせた方法によつて計算するのが、最も安定した解法である。

5. 数値計算例

図-1に、両側を壁に囲まれた平行流の計算例を上げる。壁面では、流速0の境界条件を用いている。レイノルズ数は50である。図-2には、壁間隔が異なる場合の計算例を示す。入口でもレイノルズ数は340である。

6. 参考文献

1. J.T.Oden and Somogi: "Finite Element Applications in Fluid Dynamics." proc. ASCE, Vol 95, EM3, p821~6, 1968
2. J.T.Oden: "The Finite Element Method in Fluid Mechanics" NATO Advanced Study Institute. Lisbon, 1971
3. A.J.Baker: "Finite Element Solution Algorithm for Viscous Incompressible Fluid Dynamics." Int. J. Num. Meth. Engng. Vol.6, 1973

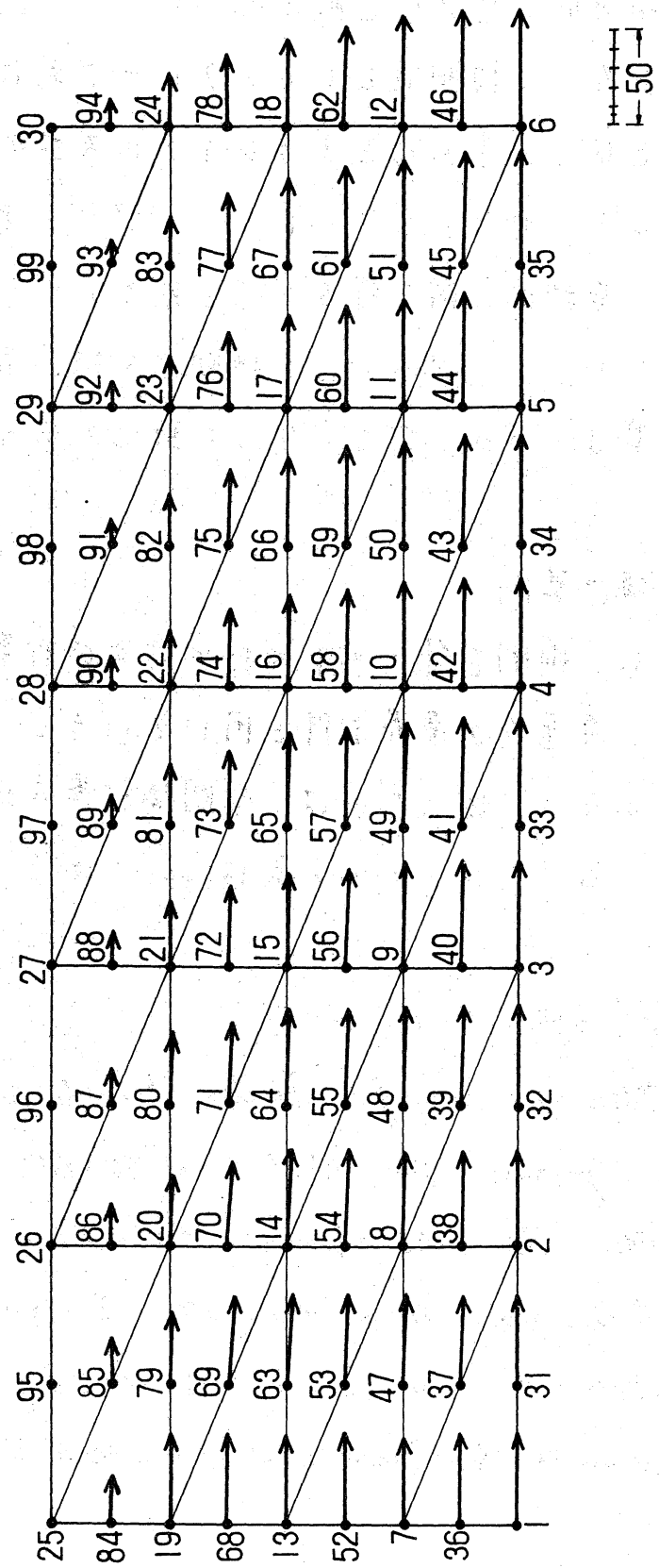


Fig. 1

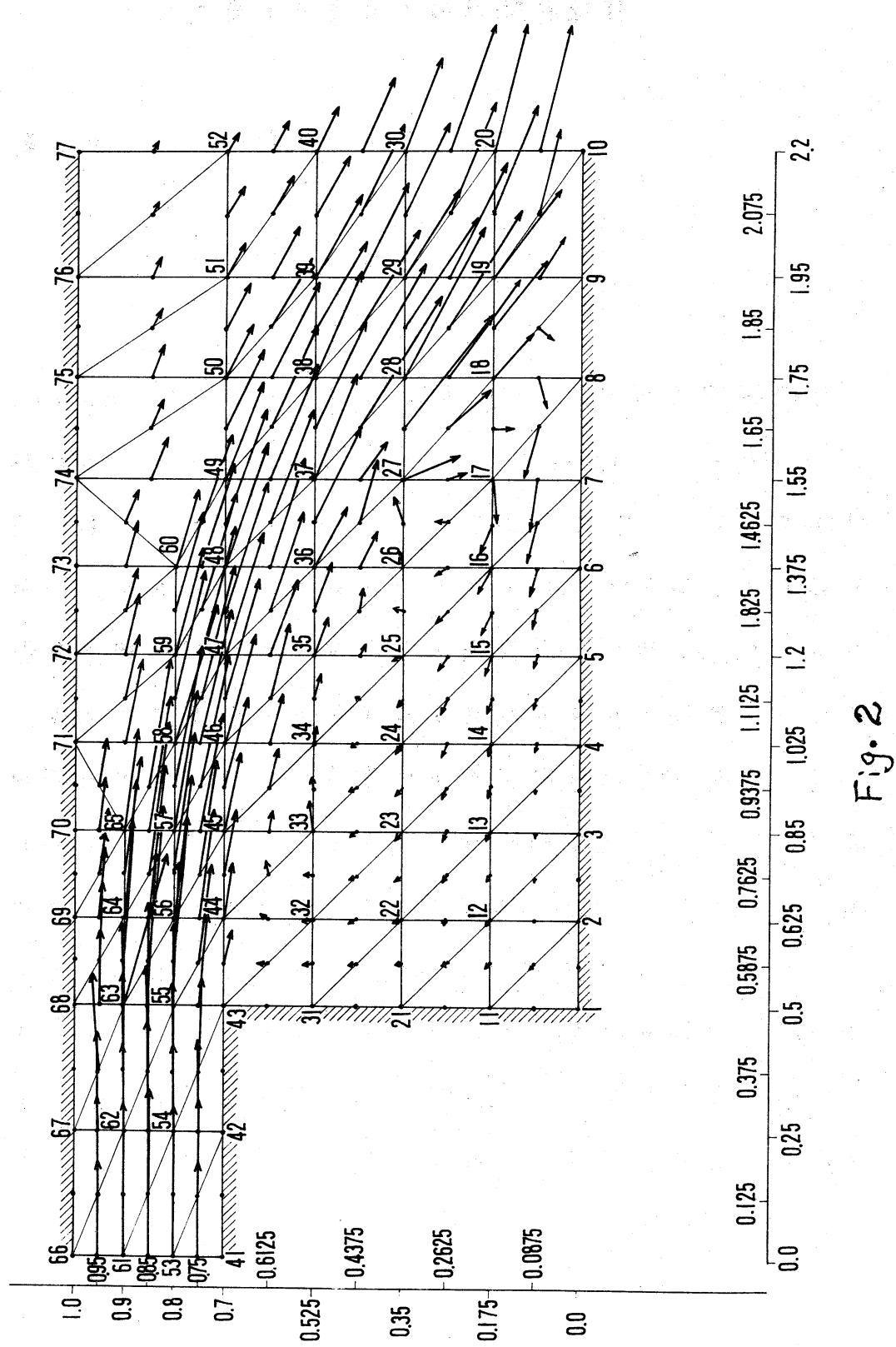


Fig. 2